

01;05
©1995 г.

АВТОВОЛНЫ ЛОКАЛИЗОВАННОЙ ПЛАСТИЧЕСКОЙ ДЕФОРМАЦИИ

Л.Б.Зуев, В.И.Данилов, В.В.Горбатенко

Институт физики прочности и материаловедения СО РАН,
634048, Томск, Россия
(Поступило в Редакцию 12 августа 1994 г.)

Пластическая деформация твердых тел рассматривается как процесс формирования и распространения автоволн различного типа при нагружении образцов из пластичных материалов. Показано, что каждому типу автоволн отвечает определенный вид активной среды (возбудимой или автоволновой), которые различаются природой и масштабом структурных неоднородностей, создающихся в процессе пластического течения. Прослежена эволюция активных сред и соответствующих им полных режимов в твердых телах с различной природой пластической деформации. Приведены количественные оценки параметров автоволн, таких как длина и скорость распространения. Показано, что автоволновые картины расширяют возможности анализа кинетики процессов, ответственных за пластическое течение и локализацию деформации.

Введение

Локализация пластической деформации возникает в исходно макроскопически однородном материале и приводит к спонтанному сосредоточению пластического течения в одной или нескольких зонах образца, которые могут перемещаться по объему деформируемого материала [1,2]. Неоднородность пластического течения приобретает макроскопический масштаб, причем прогноз поведения материала в такой ситуации практически невозможен, поскольку явление локализации деформации многолико и, насколько известно, до сих пор нет какого-либо универсального объяснения эффектов [2]. Очень важно, что по мере повышения чувствительности, используемой для регистрации пластического формоизменения аппаратуры, явление локализации обнаруживается на все более ранних стадиях нагружения и во все более разнообразных формах.

Так, экспериментальные исследования процессов пластического течения твердых тел [3-6], выполненные с помощью методики спеклинтерферометрии [7,8], показали, что пластическая деформация с са-

мых начальных этапов протекает неоднородно, но в этой неоднородности часто появляется существенная пространственно-временная организованность, позволяющая использовать для описания явлений понятие волны и ее характеристики: длину, скорость распространения и частоту колебаний [3]. В то же время, несмотря на довольно большой объем материала, уже накопленного в этой области, остаются трудности в понимании природы наблюдаемых волн и причин их возникновения. В частности, серьезной проблемой является объяснение величины длины волны ($\lambda \approx 5 \dots 10$ мм), постоянной почти для всех условий деформирования и всех материалов и малой скорости распространения волн ($v_{pv} \approx 10^{-5} \dots 10^{-4}$ м/с) [3,4].

Экспериментальные результаты

Настоящая работа представляет собой попытку обобщения экспериментальных данных о пространственно-временных особенностях процесса пластического течения на разных стадиях и построения на этой основе качественной модели, включающей исследуемые закономерности в определенный класс широко обсуждаемых в настоящее время (безотносительно к проблеме пластической деформации) явлений. В качестве объектов исследования использованы моно- и поликристаллы Al, монокристаллы сплава Cu-Ni-Sn в закаленном (однофазном) и дисперсионно-упрочненном состояниях, сплав Ni₃Mn (поликристалл) в упорядоченном состоянии, низкоуглеродистая сталь, а также металлические стекла разного состава. Такой выбор определен главным образом тем, что для всех перечисленных материалов существуют достаточно надежные и полные сведения о микромеханизмах пластического течения и дефектной структуре.

Для количественного анализа картин пластической деформации использовался метод спекл-интерферометрии [7]. Не останавливаясь здесь на ранее описанных деталях его применения в исследованиях кинетики пластического течения [8], укажем, что, измерив с его помощью поле вектора смещений $\mathbf{r}(x, y)$, можно получить и построить поля всех компонент тензора пластической дисторсии β для случая плоско-го напряженного состояния [9]

$$\beta = \nabla \mathbf{r} = \begin{vmatrix} \varepsilon_{xx} & \varepsilon_{xy} \\ \varepsilon_{yx} & \varepsilon_{yy} \end{vmatrix} + \omega_z. \quad (1)$$

Здесь ε_{xx} , ε_{yy} — продольная и поперечная компоненты тензора деформации; $\varepsilon_{xy} = -\varepsilon_{yx}$ — сдвиговая компонента; ω_z — поворот вокруг оси, нормальной к поверхности исследуемого образца. Направление растяжения совпадает с осью x . Если пластическое течение начинается с площадки текучести (низкоуглеродистая сталь, упорядоченный сплав Ni₃Mn) или стадии легкого скольжения с малым коэффициентом деформационного упрочнения (сплав Cu-Ni-Sn), то распределение деформаций вдоль оси образца выглядит так, как показано на рис. 1-3. Для всех указанных ситуаций характерно, что в направлении растяжения распространяется очаг деформации, в котором локализовано на данный

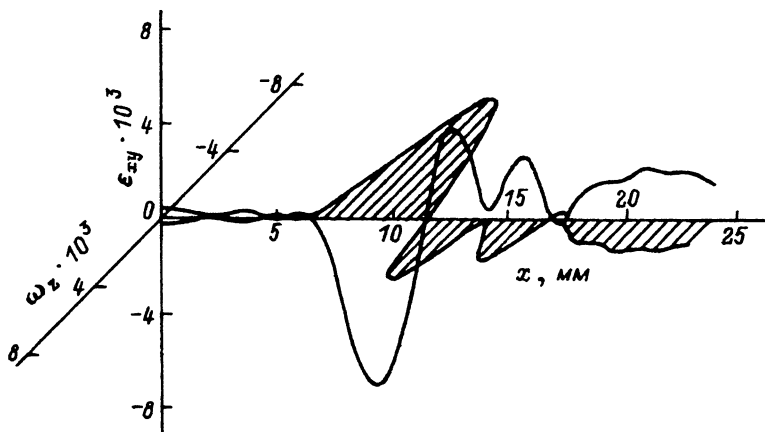


Рис. 1. Движение фронта полосы Людерса при деформации на площадке текучести в стали 10Г2Ф. Скорость движения $4.5 \cdot 10^{-5}$ м/с.

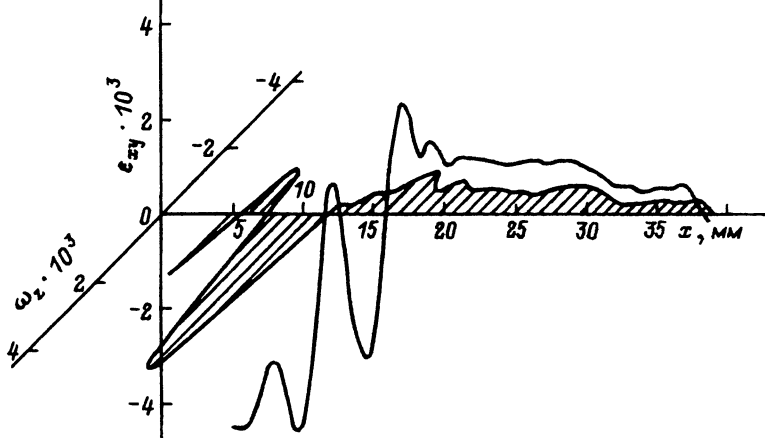


Рис. 2. Движение фронта деформации на стадии легкого скольжения в монокристалле Cu-Ni-Sn (закаленное состояние). Скорость движения $6.5 \cdot 10^{-5}$ м/с.

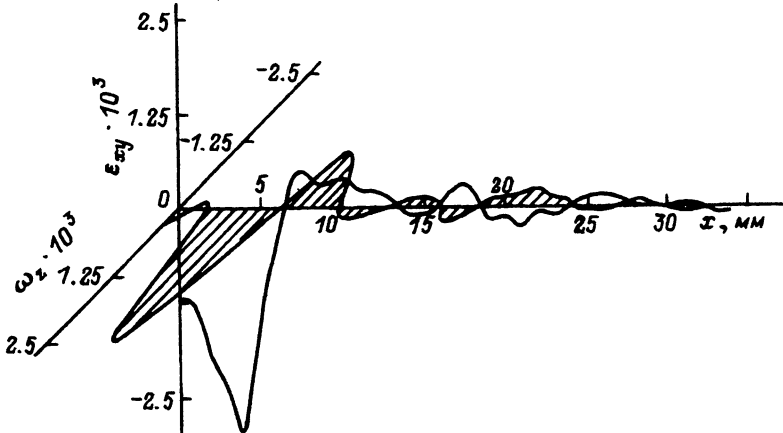


Рис. 3. Движение фронта деформации в упорядоченном сплаве Ni_3Mn . Площадка текучести; скорость движения фронта 10^{-4} м/с.

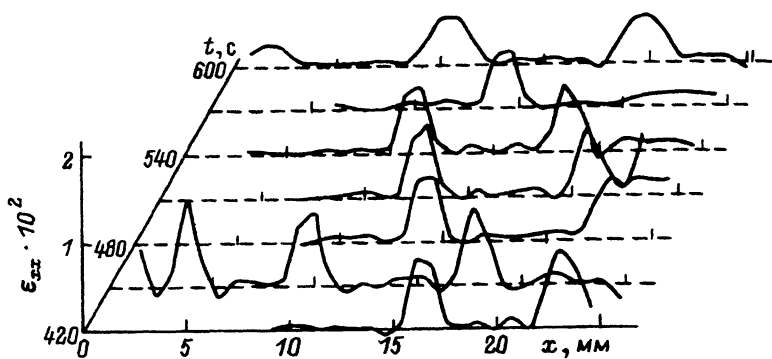


Рис. 4. Бегущие автоволны на стадии линейного упрочнения закаленных монокристаллов Cu-Ni-Sn. Скорость распространения $7.5 \cdot 10^{-5}$ м/с.

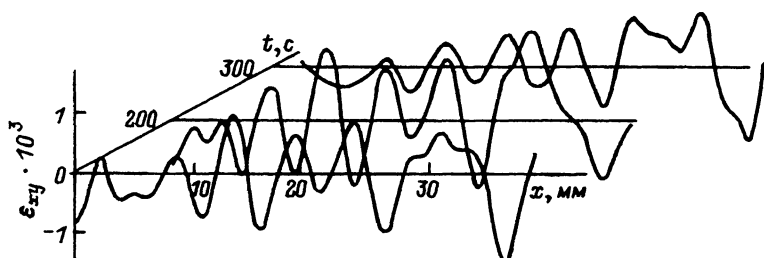


Рис. 5. Стационарная диссипативная структура (стоячая волна) при деформации монокристаллов алюминия.

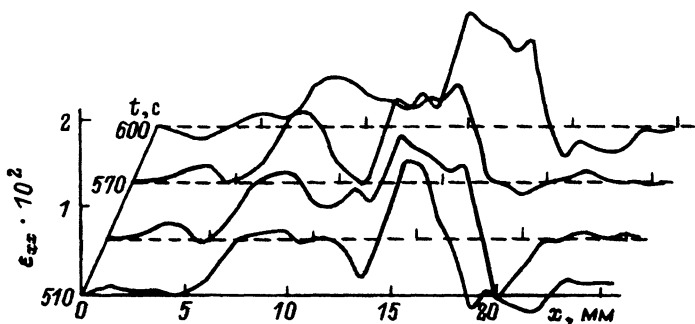


Рис. 6. То же для монокристаллов сплава Cu-Ni-Sn в дисперсионно упрочненном состоянии.

момент пластическое течение. В низкоуглеродистой стали это явление, хорошо известное как движение фронта полосы Людерса [10], наблюдается невооруженным глазом, но метод спекл-интерферометрии существенно детализирует картину [6]. Приведенные на рис. 1-3 данные позволяют говорить о типичности подобных особенностей. Ранее распространение аналогичных фронтов при ударном нагружении детально исследовалось в работах Шестопалова [11].¹

Если кривая пластического течения имеет с самого начала параболический вид (поликристаллический Al, упрочненные монокристаллы Cu-Ni-Sn), то наблюдаемые картины распределений компонент тензора дисторсии по образцу во время растяжения с постоянной скоростью и их эволюция во времени выглядят иначе. Это относится также к стадии линейного упрочнения монокристаллов Cu-Ni-Sn в закаленном состоянии. В этих случаях могут наблюдаться следующие два типа явлений: распространение последовательности очагов пластического течения (волновой процесс — монокристаллы Cu-Ni-Sn (рис. 4)); локализованные, не перемещающиеся вдоль образца зоны пластической деформации ("стоячие" волны — поликристаллический Al (рис. 5), монокристаллы Cu-Ni-Sn в упрочненном состоянии (рис. 6)).

Наконец, в некоторых случаях, например при деформации металлических стекол [12,13] или сталей [14], наблюдаются почти неупорядоченные распределения $\varepsilon_{xy}(x)$, нерегулярно меняющиеся во времени. Таким образом, различны не только детальные картины пластической деформации разных материалов, но и в ходе деформации одного материала возможно изменение характера ее локализации, как это происходит на стадиях легкого скольжения и линейного упрочнения монокристаллов Cu-Ni-Sn. Очаги деформации, выявляемые при использовании метода спекл-интерферометрии, суть зоны локализации деформации, формирующиеся и развивающиеся в ходе пластического течения по определенным, но различным для разных материалов законам.

Автоволновая модель пластичности

Известно, что в ходе пластического течения дефектная структура материала претерпевает кардинальные изменения как в количественном (плотность дислокаций), так и в качественном (форма дислокационных ансамблей) отношении [10,15]. Разумеется, между двумя процессами — локализацией деформации всех типов и эволюцией дислокационной структуры должна существовать связь, но непосредственный переход от одного уровня описания к другому слишком сложен или вообще невозможен в рамках существующих моделей. В то же время необходимый прогресс в понимании природы наблюдаемых особенностей пластической деформации может быть достигнут при использовании метода, широко и успешно применяемого в последние годы для анализа процессов в далеких от равновесия открытых системах [16-18], к которым, без сомнения, должно быть отнесено деформируемое твердое тело. Речь идет о варианте синергетического описания, использующего представление об автоволнах [18]. С его помощью удастся объяснить

¹ На это обстоятельство обратил внимание авторов А.И.Слущкер.

закономерности образования макромасштабных неоднородностей в химических и биологических [17] системах, электронно-дырочной плазме [19] и ряде других достаточно сложных объектов.

Основные черты названного подхода таковы. Характеризующая систему функция координат и времени $X(x, y, z, t)$ удовлетворяет базовому уравнению параболического типа

$$\dot{X} = f(X) + D_X \Delta X, \quad (2)$$

причем нелинейная функция $\dot{X} = f(X)$, называемая точечной динамикой системы, должна быть автоколебательной [16,20]. В (2) D_X — коэффициент диффузии, Δ — лапласиан.

Для решения таких уравнений существенно [16], что описываемые или динамические процессы приобретают макроскопический линейный масштаб за счет локальных взаимодействий, каждое из которых, однако, макромасштаба не имеет (точечная динамика). Как показано в ряде работ, развивающих подобный метод [16-19], более гибок вариант, когда одновременно рассматривается поведение контролирующих кинетику процесса автокаталитического и демпфирующего факторов; они по отдельности удовлетворяют уравнению типа (2), но нелинейные функции справа отличаются временными и пространственными масштабами. При этом для каждой системы прежде всего следует обоснованно выбрать указанные факторы. Это может оказаться нетривиальной задачей, тем более что [17] наличие в деформируемой системе веществ или структур, прямо отождествляемых с активаторами и ингибиторами, необязательно.

Состояние материала при пластическом течении задается упругим напряжением σ и пластической деформацией ε и имеет смысл в таком качестве использовать именно эти величины [21]. Упругие напряжения играют роль демпфирующего, а пластическая деформация — автокаталитического фактора, чему в [21] дается простая и убедительная интерпретация: упругое растяжение приводит к адиабатическому снижению температуры и торможению, а пластические сдвиги, напротив, к разогреву и ускорению термоактивированных процессов деформации.

Тогда в одномерном случае для автокаталитического и демпфирующего факторов получается система уравнений типа (2) в виде

$$\dot{\varepsilon} = f(\sigma, \varepsilon) + D_\varepsilon \varepsilon'', \quad (3a)$$

$$\dot{\sigma} = g(\sigma, \varepsilon) + D_\sigma \sigma''. \quad (3б)$$

Возможны, разумеется, и другие варианты записи указанной пары факторов, контролирующих процесс пластического течения, но выбор между ними должен быть основан на сравнении результатов решений соответствующих уравнений, что пока преждевременно.

В записи нелинейных функций $f(\sigma, \varepsilon)$ и $g(\sigma, \varepsilon)$ в (3a), (3б), отражающих динамику точечной системы, целесообразно учесть релаксационную природу элементарного акта пластичности, в котором взаимосвязанно меняются σ и ε [22].

Смысл диффузионных членов в (3a), (3б) состоит в том, что первоначальное распределение упругих полей и деформаций за счет случайных перестроек воспроизводится на характерных расстояниях L

и l через соответствующие времена релаксации упругих напряжений и пластической деформации ϑ и θ . Коэффициенты диффузии D_ε и D_σ выражаются через эти параметры обычным образом [23]

$$l^2 \approx D_\varepsilon \theta, \quad (4a)$$

$$L^2 \approx D_\sigma \vartheta. \quad (4б)$$

Дальнейший анализ (3а), (3б) производится двумя путями. Исследование характера точечной динамики (без членов $D_\varepsilon \varepsilon''$ и $D_\sigma \sigma''$) позволяет [16] уточнить возможные режимы процессов в деформируемой среде, а оценка коэффициентов диффузионного типа дает количественные сведения о пространственно-временных распределениях σ и ε [24].

Запишем конкретный вид функций $f(\sigma, \varepsilon)$ и $g(\sigma, \varepsilon)$. В качестве первой может быть взят закон пластического течения [25,26]

$$\dot{\varepsilon} = f(\sigma, \varepsilon) = \varepsilon/\theta + \sigma/\eta. \quad (5a)$$

Здесь η — вязкость деформируемой среды. При записи $g(\sigma, \varepsilon)$ обычно используется уравнение для вязкоупругой среды [25]. Так было сделано, например, в [3,26,27], где оно формально дополнено членом, пропорциональным $\sigma\varepsilon$, который отражает вклад долгоживущей гидродинамической моды, связанной с деформационными дефектами. Введение такого члена предполагает гиперболическую зависимость напряжений от деформации в процессе релаксации. В то же время при термоактивационном характере релаксации эта зависимость должна быть логарифмической, что прямо вытекает из соотношения Аррениуса [28] для скорости деформации. По этим причинам в настоящей работе вклад деформации в $g(\sigma, \varepsilon)$ задается в виде

$$\dot{\sigma} = g(\sigma, \varepsilon) = -(\sigma - \sigma_0)/\vartheta + A \ln \varepsilon, \quad (5б)$$

где σ_0 — уровень, до которого релаксируют напряжения.

С учетом (5а), (5б) система (3а), (3б) приобретает вид

$$\dot{\varepsilon} = -\varepsilon/\theta + \sigma/\eta + D_\varepsilon \varepsilon'', \quad (6a)$$

$$\dot{\sigma} = -(\sigma - \sigma_0)/\vartheta + A \ln \varepsilon + D_\sigma \sigma''. \quad (6б)$$

Качественный анализ точечной динамики проводится путем построения нуль-изоклин функций $f(\sigma, \varepsilon)$ и $g(\sigma, \varepsilon)$ [16] и рассмотрения фазового портрета системы. Из (6а) нуль-изоклина $\dot{\varepsilon} = 0$ линейна по деформации

$$\sigma = \eta\varepsilon/\theta = E\varepsilon, \quad (7a)$$

E — модуль упругости.

Нуль-изоклина для (6б) ($\dot{\sigma} = 0$) имеет вид

$$\sigma = \sigma_0 + A^* \ln \varepsilon, \quad A^* = A\vartheta. \quad (7б)$$

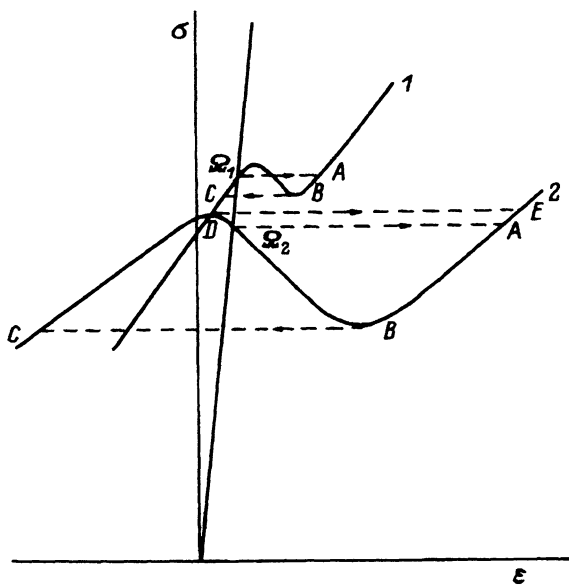


Рис. 7. К анализу возможных режимов процессов в деформируемой системе. 0-изоклины.

Константы A^* и σ_0 могут быть оценены из временных зависимостей релаксирующих напряжений. Они определяются преодолимостью барьеров, плотностью подвижных носителей деформации, материальными константами среды и температурой испытания. Разлагая $\ln \epsilon$ в степенной ряд и ограничиваясь членом не выше кубического, можно показать, что эта нуль-изоклина имеет требуемый условиями [16] N-образный вид (рис. 7). Положение особой точки пересечения изоклин Ω задается соотношением констант A^* , σ_0 и, как показал анализ, в первую очередь плотностью подвижных носителей деформации. Качественно возникающая в точечной системе ситуация для различных уровней предварительной деформации показана на рис. 7. После достижения особой точки Ω по линии $\sigma = E\epsilon$ (кривая 1) любое малое отклонение приводит к скачкообразному переходу $\Omega_1 - A$ на устойчивую ветвь изоклины $\sigma = 0$ и далее к возврату по пути $A - B - C - \Omega_1$ к положению равновесия. Ясно, что в этом случае в системе возможно только распространение единичного импульса (очага деформации), как это наблюдается в экспериментах, результаты которых представлены на рис. 1-3.

Иной вид имеет фазовый портрет при больших значениях предварительной деформации (кривая 2 на рис. 7). В этом случае после перескока $\Omega_2 - A$ изображающая точка системы уже не возвращается к равновесию, а совершает движение по замкнутому циклу $B - C - D - E - B$, что указывает на возникновение автоколебаний в точечной системе и распространение автоволн в распределенной. К этому случаю ближе всего картины, наблюдаемые при деформации монокристаллов Cu-Ni-Sn на стадии линейного упрочнения (рис. 4) и крупнозернистых поликристаллов Al [4] и сплава Fe + 3%Si [5].

Автоволны возникают и распространяются только при определенных соотношениях между параметрами, характеризующими автокаталитический и демпфирующий факторы [17]. На настоящем этапе исследований возможны предварительные грубые оценки величин L , ϑ и l , θ . Так, учитывая, что, согласно [24], Величина L соответствует длине волны или ширине одиночного очага реакции, а l ширине фронта волны или импульса, из экспериментальных данных (рис. 1-6) следует, что $L \approx 10$ мм, а $l \leq 1$ мм. Оценка временных параметров может быть основана на следующих соображениях. Для времени релаксации упругого поля, очевидно, $\vartheta \approx L/v^* \approx 10^{-4}$ с, причем $v^* \approx (F/\rho_1)^{1/2} \approx 10^2$ м/с — скорость распространения упругих волн в растянутом образце (F — сила натяжения, ρ_1 — масса единицы длины образца). θ оценим снизу как время ожидания термически активированного акта пластической деформации [10]

$$\theta \approx \omega_D(\mathcal{L}/b) \exp H/kT. \quad (8)$$

Здесь ω_D — дебаевская частота, \mathcal{L} — длина дислокационной петли, b — вектор Бюргерса, H — энтальпия активации процесса. При разумных [10] значениях $\mathcal{L}/b \approx 10^2$, $H \approx 0.75$ эВ (8) следует $\theta \geq 10^2$ с.

В соответствии с (4а), (4б) $D_\sigma \approx 1$ м²/с и $D_\epsilon \approx 10^{-8}$ м²/с. Таким образом, количественные характеристики автокаталитического (l , θ , D_ϵ) и демпфирующего (L , ϑ , D_σ) факторов оказываются в соотношениях $l \ll L$, $\theta \gg \vartheta$, $D_\epsilon \ll D_\sigma$. Это означает, что автокаталитический фактор имеет малый радиус действия и малую скорость распространения $v_s \approx l/\theta \approx 10^{-5}$ м/с, а демпфирующий, напротив, характеризуется большим радиусом действия и большой скоростью распространения v^* . Именно при таких соотношениях между ними [17,21] возможно установление автоволновых режимов, что и обнаружено в ряде задач, при решении которых получены результаты, качественно очень близкие к картинам, наблюдаемым при пластической деформации и представленным на рис. 1-6. В случае пластической деформации в образце устанавливается плавное распределение упругих напряжений типа стоячей упругой волны с длиной $\lambda \approx L$, медленно перестраивающееся во времени по мере изменения напряжений и конфигурации образца. На этом фоне происходят локализованные деформационные процессы, охватывающие области значительно меньшего масштаба $\sim l$. Распределение упругого поля таково, что создается регулярная картина концентрации напряжений, но пластическое течение способно реализоваться в данный момент в небольшом числе участков, причем сдвиг, происходящий, например, в одном зерне поликристалла, может инициировать аккомодационные процессы в соседнем [10], так что деформация охватывает сравнительно небольшой участок $\sim l$, а следующая зона течения отстает от предыдущей во времени и пространстве на $\sim L$. Малая величина скорости перемещения очагов пластического течения в рамках автоволновой модели находит следующее объяснение: в [18] показано, что скорость распространения автоволн v_{pv} должна быть комбинацией скоростей распространения автокаталитического v_s и демпфирующего v^* воздействий

$$v_{pv}^2 = v_s^2 / \left[1 + (v_s/v^*)^2 \right]. \quad (9)$$

Поскольку $v_s \ll v^*$, то из (9) следует $v_{pv} \approx v_s \approx 10^{-5}$ м/с, что соответствует обычно наблюдаемым значениям [3-6]. Таким образом, автоволновая модель пластической деформации способна удовлетворительно объяснить качественные особенности процессов течения твердых тел различной природы, а в некоторых случаях дать правдоподобные количественные оценки.

Активные деформируемые среды

Приведенные выше экспериментальные результаты и их интерпретация позволяют сделать заключение, что пластическая деформация в материалах распространяется в виде автоволн различного типа, которые можно наблюдать при определенных условиях. Существует важное отличие автоволн от обычных, например упругих, волн. Если при распространении последних состояние среды не меняется и волна может быть возбуждена сколько угодно много раз, то снова возбудить и наблюдать автоволну, такую как распространение одиночного очага деформации (рис. 1-3), не удастся. Этот факт давно отмечен при исследованиях полосы Людерса, которая повторно может наблюдаться только после проведения специальной термической операции старения [10].

Следовательно, распространение автоволн есть процесс изменения структуры и свойств деформируемой среды. Среда такого типа является активной, причем признаки активности [16,17] (наличие распределенного источника энергии, возможность выделения элементарного объема реакции, существование связи между отдельными объемами) легко прослеживаются в случае деформируемого твердого тела.

Между автоволнами и активными средами существует тесная связь, такая что каждому типу активной среды отвечает определенный тип автоволновых процессов. Рассмотрим с этой точки зрения деформируемое твердое тело. Полагая, что в основе всех процессов пластического течения [22,27] лежит элементарный акт пластичности релаксационного типа, можно представить нагруженный внешними силами материал как совокупность концентраторов напряжений — областей с повышенным по сравнению с номинальным уровнем напряжений. В силу неоднородности микроструктуры распределение таких областей может считаться стохастическим. Пластическая деформация в рамках этой модели представляет собой распад полей части концентраторов, перераспределение мозаики упругого поля, рождение элементарных сдвигов и создание новых концентраторов за счет возникновения заторможенных сдвигов. Между отдельными очагами деформации вблизи концентраторов возможно взаимодействие, осуществляемое двумя путями. Прежде всего оно связано с механизмом перераспределения упругого поля (быстрое взаимодействие). Его характерная скорость $v^* \approx (D_\sigma/\vartheta)^{1/2} \approx 10^2$ м/с. С другой стороны, сдвиги непосредственно вызывают в соседних объемах явления аккомодации (медленное взаимодействие), распространяющиеся с заметно меньшей скоростью $v_s \approx (D_\epsilon/\theta)^{1/2} \approx 10^{-5}$ м/с.

В зависимости от характера взаимодействий в деформируемой структуре данные экспериментов позволяют выделить по крайней мере два типа активных сред. В первой из них, возбудимой, возможно [17] распространение одиночного импульса возбуждения, за которым материал переходит в новое состояние, уже не способное к активации на этой стадии деформации. Подобная картина представлена на рис. 1-3, ее возникновение качественно описывается схемой рис. 7 (кривая 1). В подобной ситуации, характерной для ранних этапов деформации, взаимодействие между элементарными сдвигами еще невелико и роль автокаталитического фактора слаба по сравнению с демпфирующим (перераспределение упругих напряжений). По существу эта стадия и этот тип среды соответствуют движению макроскопического концентратора напряжений, скорость которого контролируется медленными процессами сдвига на упругом фронте.

При более высоком уровне напряжений взаимодействие между элементарными актами пластичности становится более существенным. В этом случае среда переходит в автоколебательное состояние [17,18] с фазовым портретом, представленным на рис. 7 (кривая 2), и в ней могут наблюдаться бегущие (рис. 4) или "стоячие" (рис. 5, 6) волны. Последние часто называют стационарными диссипативными структурами [21], имея в виду, что сам процесс формирования автоволн может рассматриваться как образование разнообразных диссипативных структур [16-21]. Такое состояние среды нередко проявляется в форме "скачкообразной" деформации [1,10,29]. Причины, по которым при деформации материалов одного или близких типов могут возникать бегущие и "стоячие" волны, пока остаются неясными.

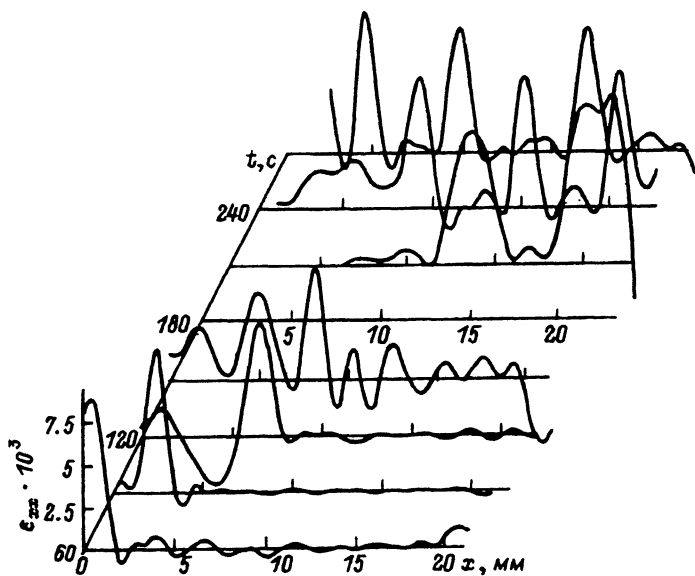


Рис. 8. Эволюция автоволновой структуры при деформации закаленных монокристаллов Cu-Ni-Sn.

Закключение

Использование понятий активной среды и автоволновых процессов в ней для описания пластического течения твердых тел дает возможность применить в этой области мощный идейный и формальный аппарат синергетики, рассматривать отдельные особенности процесса в рамках единого подхода как эволюцию активной среды при пластической деформации и предсказывать поведение материала в такой ситуации. При этом реакция нагружаемого объекта определяется формированием автоволн определенного типа, их развитием и перестройкой через стадии хаоса в другую автоволновую структуру. Такой пример показан на рис. 8 как обобщение использованных выше сведений о деформации монокристаллов сплава Cu-Ni-Sn в закаленном состоянии.

При описании процессов деформации с помощью уравнений (3) естественным образом учитывается то обстоятельство, что деформация охватывает одновременно несколько структурных уровней разного пространственного масштаба [22,27,30]. В (3) речь идет о микроскопическом (масштаб $\sim b$), мезоскопическом (масштаб $\sim l$) и макроскопическом (масштаб $\sim L$) уровнях, причем $b \ll l \ll L$. Физическая роль каждого из них точно определена и дополнительно проясняется еще одно важное для физики пластичности обстоятельство. Известно, насколько трудно непосредственно от дислокационного масштаба перейти к макроскопическому описанию деформации даже в наиболее простых задачах, подобных объяснению природы трехстадийной кривой течения ГЦК монокристаллов [31]. В рамках автоволновой модели эта трудность исключается, поскольку [16] масштабы микро- и макроявлений в таких обстоятельствах напрямую принципиально не связаны и вводятся независимо один от другого.

Список литературы

- [1] Макклиток Ф., Аргон А. Деформация и разрушение материалов. М.: Мир, 1970.
- [2] Лигачев В.А., Панин В.Е., Засимчук Е.Э. и др. Кооперативные деформационные процессы и локализация деформации. Киев: Наукова думка, 1989.
- [3] Фролов К.В., Панин В.Е., Зуев Л.Б. // Изв. вузов. Физика. 1990. № 2. С. 19-31.
- [4] Данилов В.И., Зуев Л.Б., Мних Н.М. // ФММ. 1991. № 3. С. 188-194.
- [5] Панин В.Е., Зуев Л.Б., Данилов В.И. // ДАН СССР. 1989. Т. 308. № 6. С. 1375-1379.
- [6] Зуев Л.Б., Панин В.Е., Мних Н.М. // ДАН СССР. 1991. Т. 317. № 6. С. 1386-1389.
- [7] Джоунс Р., Уайкс К. Голографическая и спекл-интерферометрия. М.: Мир, 1986.
- [8] Зуев Л.Б., Данилов В.И., Мних Н.М. // Заводская лаборатория. 1990. Т. 56. № 2. С. 90-93.
- [9] ДеВит Р. Континуальная теория дисклинаций. М.: Мир, 1977.
- [10] Фридель Ж. Дислокации. М.: Мир, 1967.
- [11] Шестопалов Л.М. Деформирование металлов и волн пластичности в них. М.; Л.: Из-во АН СССР, 1958.
- [12] Данилов В.И., Панин В.Е., Мних Н.М. // ФММ. 1990. № 6. С. 189-193.
- [13] Данилов В.И., Евсиков С.В., Зуев Л.Б. // ФММ. 1991. № 5. С. 181-184.
- [14] Зуев Л.Б., Мних Н.М., Панин В.Е. // Проблемы машиностроения и надежности машин. 1992. № 4. С. 51-56.
- [15] Набарро Ф.Р., Вазинский Э.С., Холт Д.Б. Пластичность чистых монокристаллов. М.: Металлургия, 1967.
- [16] Кринский В.И., Жаботинский А.М. // Автоволновые процессы в системах с диффузией. Сб. статей / Под ред. М.Т. Греховой. Горький, 1981. С. 6-32.

- [17] Романовский Ю.М., Степанова Н.В., Чернавский Д.С. Математическая биофизика. М.: Наука, 1984.
- [18] Васильев В.А., Романовский Ю.М., Ятно В.Г. Автоволновые процессы. М.: Наука, 1987.
- [19] Кернер Б.С., Осипов В.В. // ЖЭТФ. 1978. Т. 74. Вып. 5. С. 1675-1697.
- [20] Климонтович Ю.Л. // Термодинамика и кинетика биологических процессов. Сб. статей / Под ред. А.И. Зотина. М.: Наука, 1980. С. 100-118.
- [21] Николис Г., Пригожин И. Познание сложного. М.: Мир, 1990.
- [22] Панин В.Е., Лизачев В.А., Гриняев Ю.В. // Структурные уровни деформации твердых тел. Новосибирск: Наука, 1985.
- [23] Румер Ю.Б., Рыжик М.Ш. Термодинамика, статистическая физика и кинетика. М.: Наука, 1972.
- [24] Лоскутов А.Ю., Михайлов А.С. Введение в синергетику. М.: Наука, 1990.
- [25] Рейнер М. // Реология. Сб. статей / Под ред. Ю.Н. Работнова, П.А. Ребиндера. М.: ИЛ, 1962. С. 22-85.
- [26] Олемской А.И., Наумов И.И., Панин В.Е. // Изв. вузов. Физика. 1986. № 6. С. 34-40.
- [27] Панин В.Е., Гриняев Ю.В., Данилов В.И. и др. Структурные уровни пластической деформации и разрушения. Новосибирск: Наука, 1990.
- [28] Фелтам П. Деформация и прочность материалов. М.: Металлургия, 1968.
- [29] Доценко В.И., Ландау А.И., Пустовалов В.В. Современные проблемы низкотемпературной пластичности материалов. Киев: Наукова думка. 1987.
- [30] Лизачев В.А., Малинин В.Г. Структурно-аналитическая теория прочности. С.-Пб.: Наука, 1993.
- [31] Зегер А. // Дислокации и механические свойства кристаллов. Сб. статей / Под ред. М.В. Классен-Неклюдовой, В.Л. Инденбома. М.: ИЛ, 1960. С. 179-268.
-